

IMAGERIE THERMIQUE A HAUTE RESOLUTION SPATIALE PAR NANOCRISTAUX FLUORESCENTS

Elika Saïdi, Benjamin Samson, Loïc Lalouat, Lionel Aigouy

Laboratoire Photons Et Matière
CNRS UPR 5, ESPCI,
10 rue Vauquelin, 75231 Paris Cedex 5



Jessica Labeguerie-Egea, Michel Mortier
(ENSCP, Paris, France)

P. Löw, C Bergaud
(LAAS, Toulouse, France)

R. Latempa, H. Diaf, J. Lesueur, D. Fournier
(LPEM, ESPCI, Paris, France)

S. Volz
(EM2C, ECP, Châtenay-Malabry, France)

Synthèse de particules fluorescentes

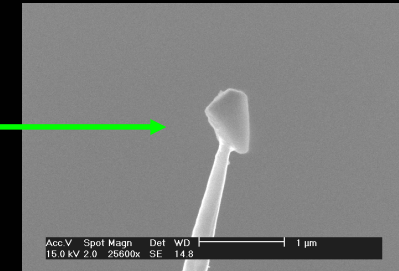
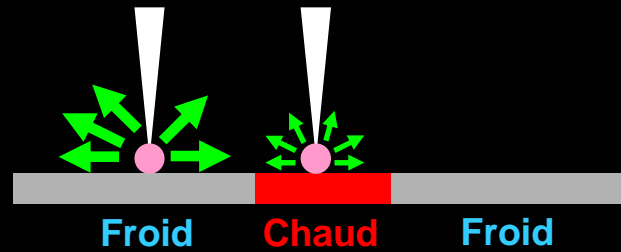
Fabrication de nanofils

Fabrication de nanofils

Simulations

PLAN

Particule fluorescente



→ Capteur thermique

- 1) Matériau fluorescent
- 2) Procédure de fabrication des sondes
- 3) Imagerie thermique : mode DC
- 4) Imagerie thermique : mode AC
- 5) Imagerie thermique dans des liquides

LE MATERIAU FLUORESCENT

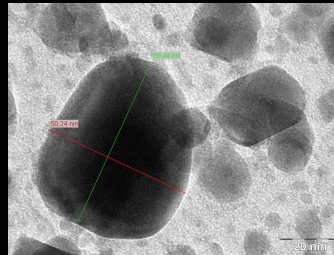
Particules fluorées codopées Erbium/ytterbium :
extrêmement robuste

Synthèse : M. Mortier team (ENSCP, Paris)

Verre



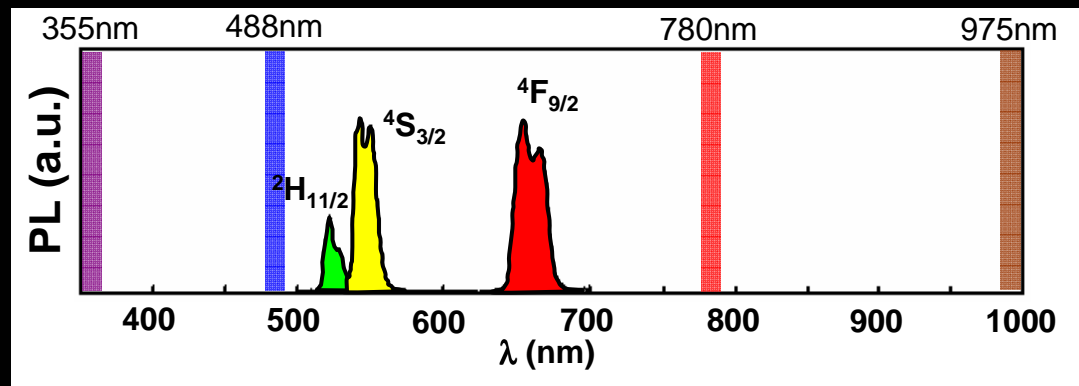
Nanocristal



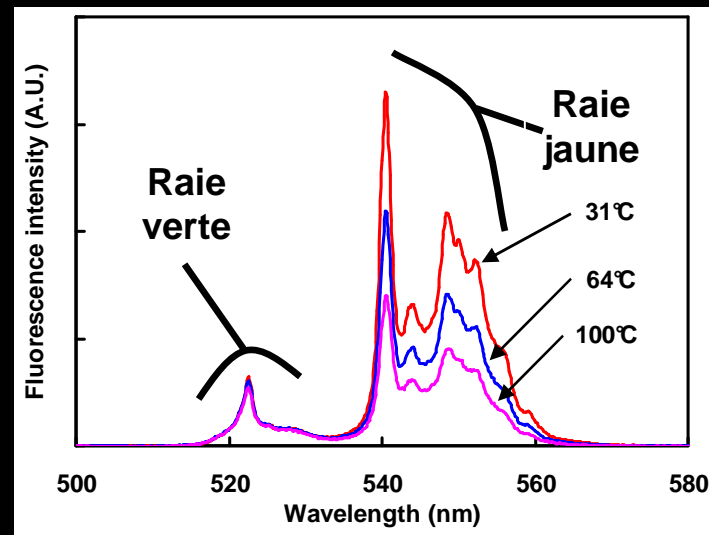
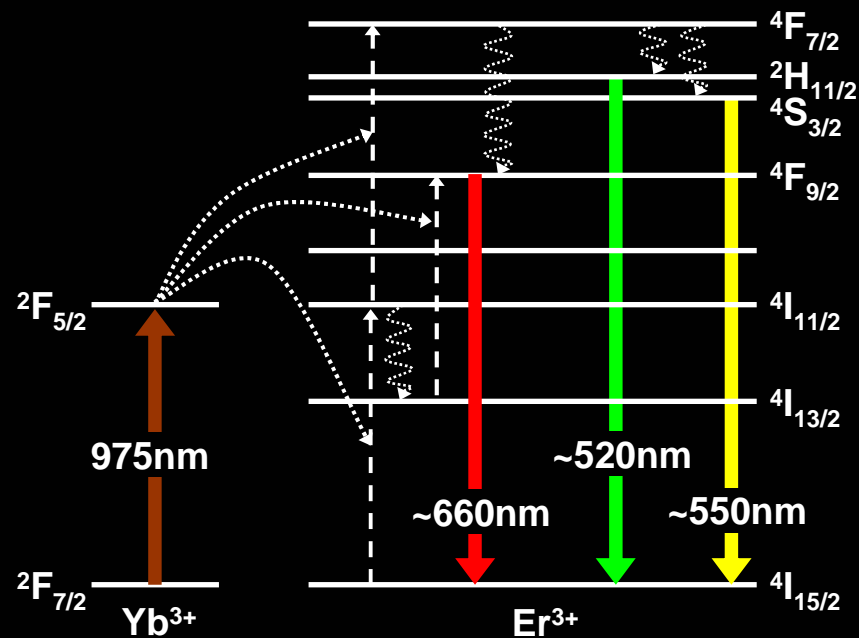
TEM : G. Patriarche (LPN, Marcoussis)



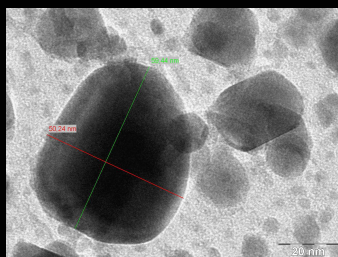
Grosse pièce : qui doit
être réduite en poudre



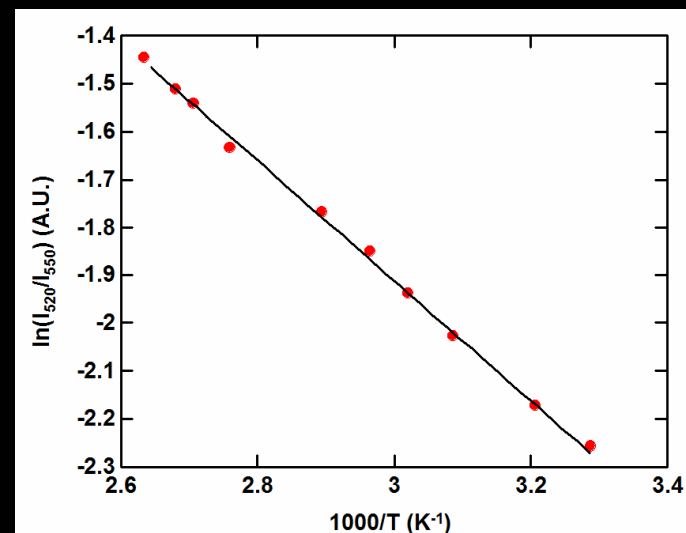
TEMPERATURE DEPENDANCE DE LA FLUO



Nanocrystal $\text{PbF}_2 : \text{Er}^{3+}/\text{Yb}^{3+}$



$$\ln\left(\frac{I_{520}}{I_{550}}\right) = C' - \frac{\Delta E}{kT}$$



PROCEDURE DE FABRICATION DES SONDES

Collage de la particule fluorescente

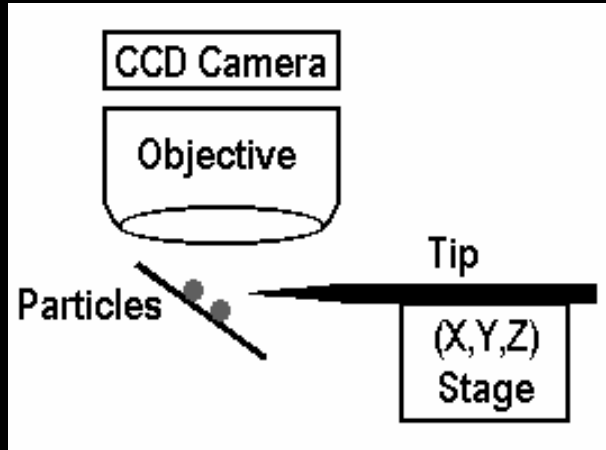
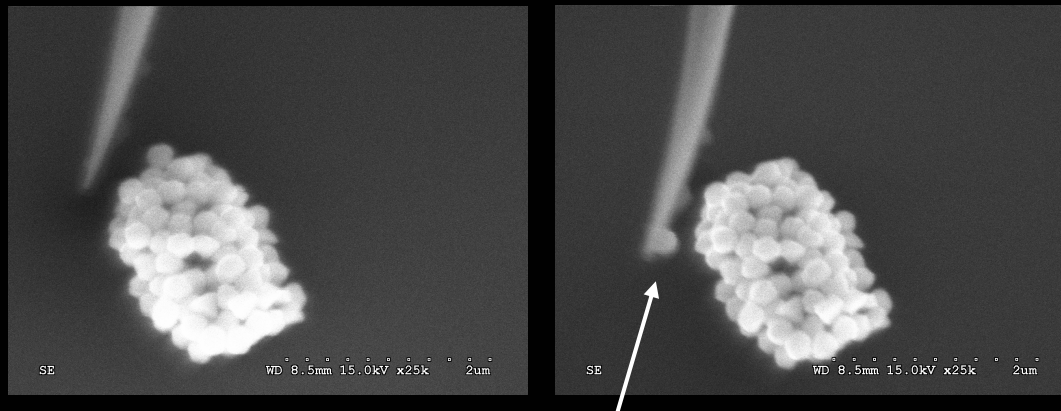


Image optique: 16.5 x 11.7 μm^2



Particule de taille 250nm

Collage in-situ dans un SEM



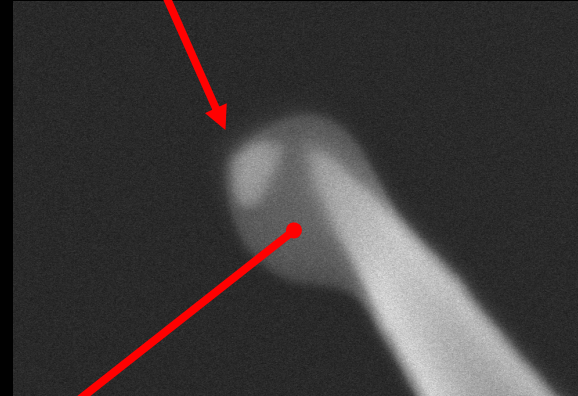
Particule de taille 250nm

EXEMPLES DE POINTES OBTENUES



Taille ~ 200 nm

Nanoparticule: taille 100-150nm

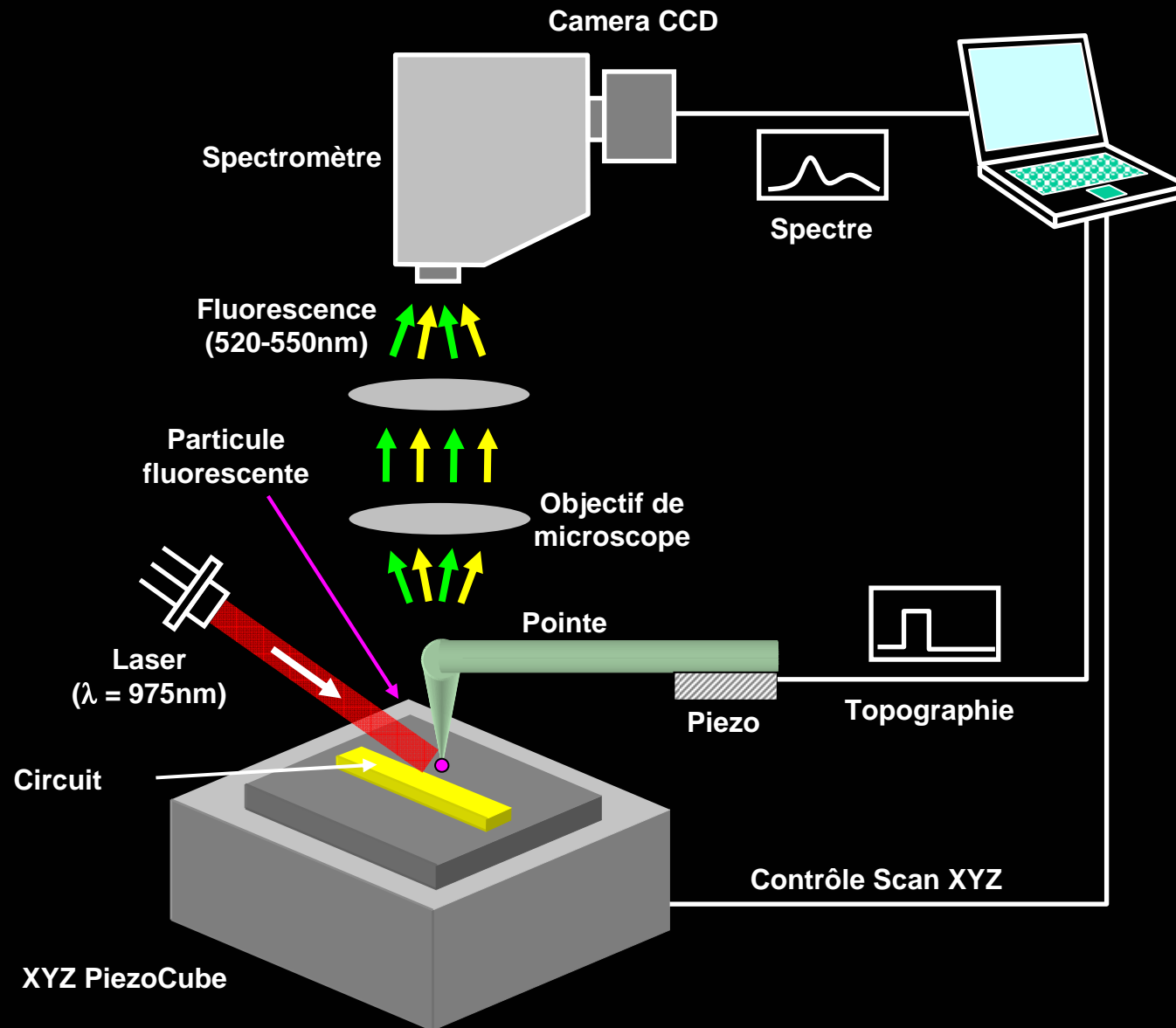


Polymère



Nanoparticule: taille 100-150nm

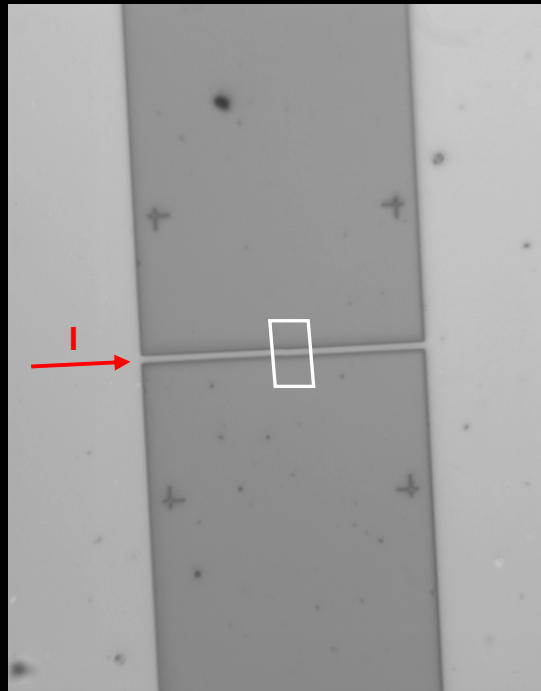
DISPOSITIF EXPERIMENTAL : IMAGERIE MODE DC



EXEMPLE : PISTE DE NICKEL

Échantillon:
P. Löw, C. Bergaud
(LAAS, Toulouse)

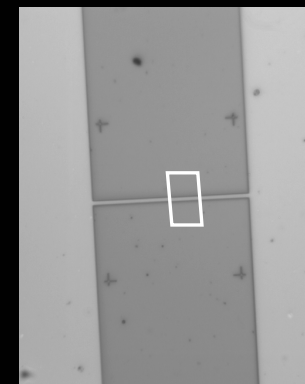
$\text{SiO}_2 / \text{Ni} / \text{SiO}_2 / \text{Si}$
Largeur : $1\mu\text{m}$
Longueur : $40\mu\text{m}$



EXEMPLE : PISTE DE NICKEL

Échantillon:
P. Löw, C. Bergaud
(LAAS, Toulouse)

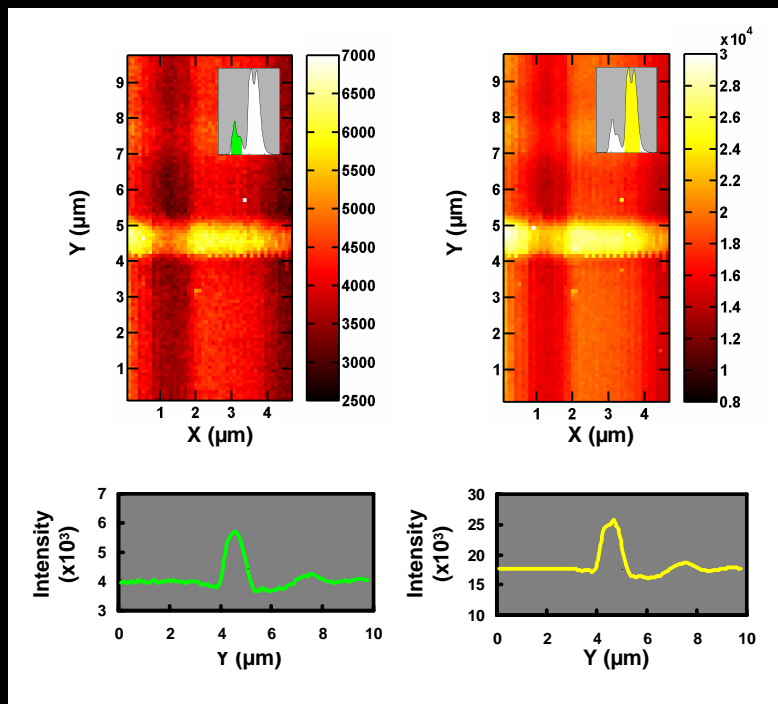
Largeur : $1\mu\text{m}$
Longueur : $40\mu\text{m}$



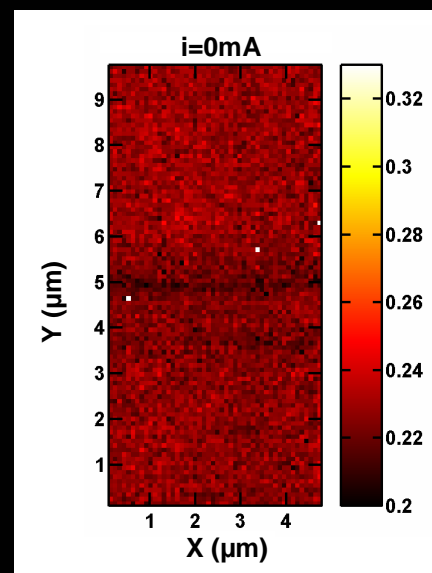
$i=0\text{mA}$

Fluorescence
verte

Fluorescence
jaune



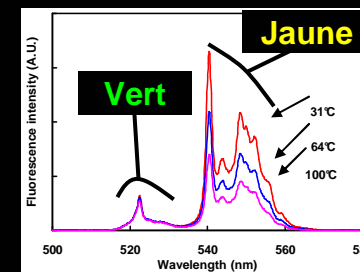
Rapport d'intensité de
fluorescence



Pas de variations
de température

EXEMPLE : PISTE DE NICKEL

Échantillon:
P. Löw, C. Bergaud
(LAAS, Toulouse)



$i=0\text{mA}$

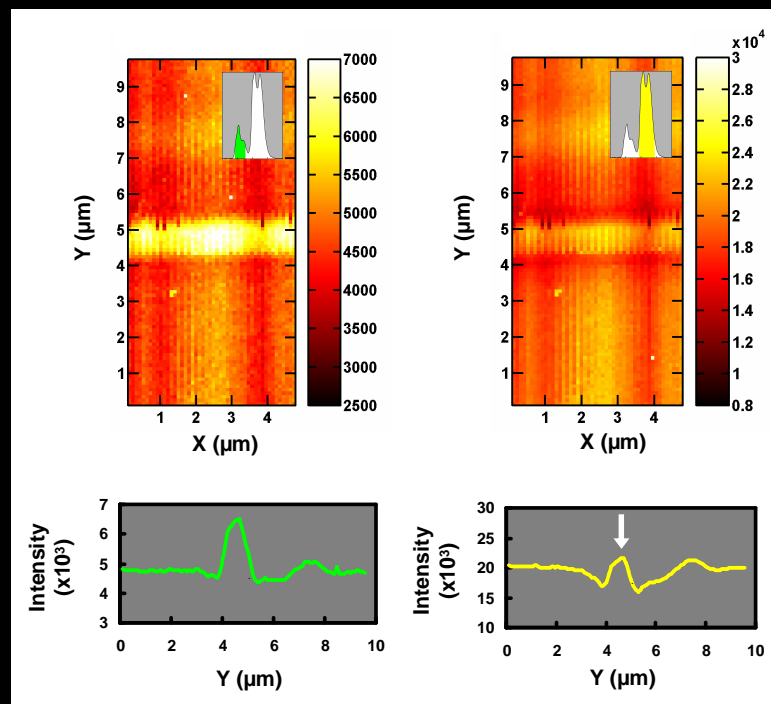
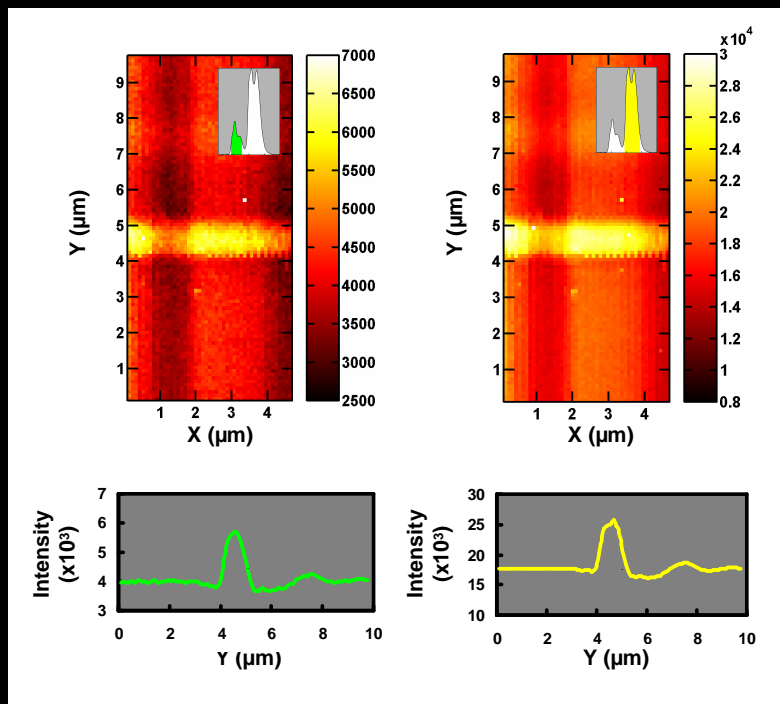
$i=6\text{mA}$

Fluorescence
verte

Fluorescence
jaune

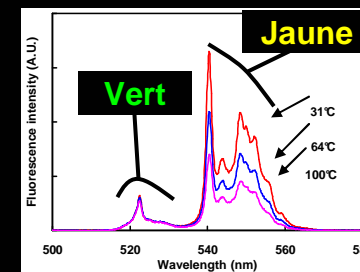
Fluorescence
verte

Fluorescence
jaune



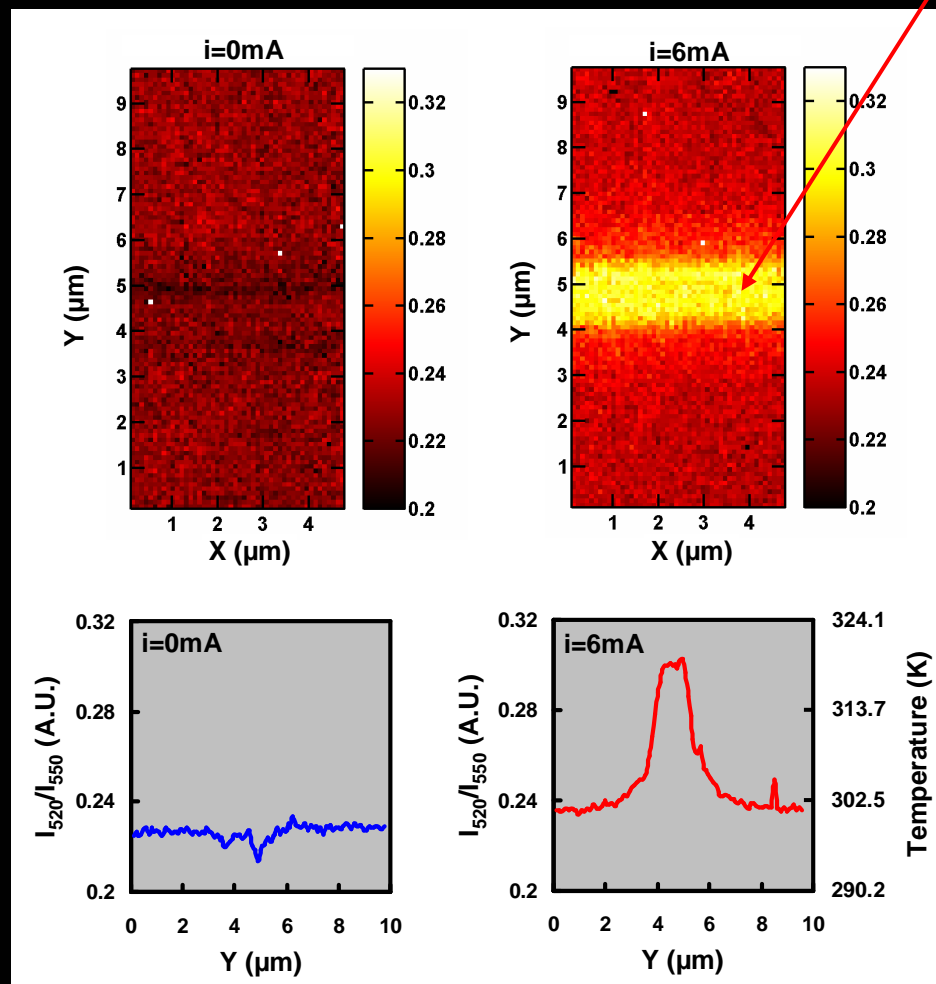
EXEMPLE : PISTE DE NICKEL

Échantillon:
P. Löw, C. Bergaud
(LAAS, Toulouse)



Rapports d'intensité de
fluorescence

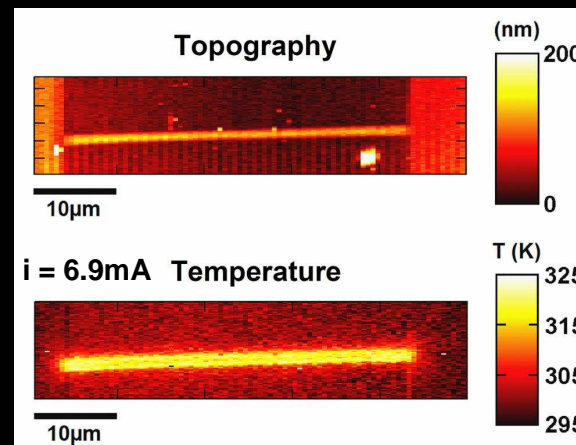
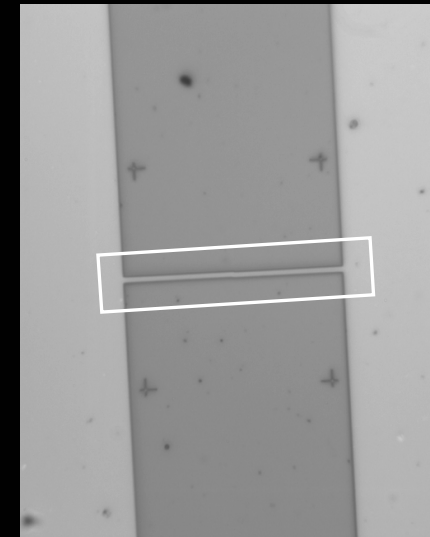
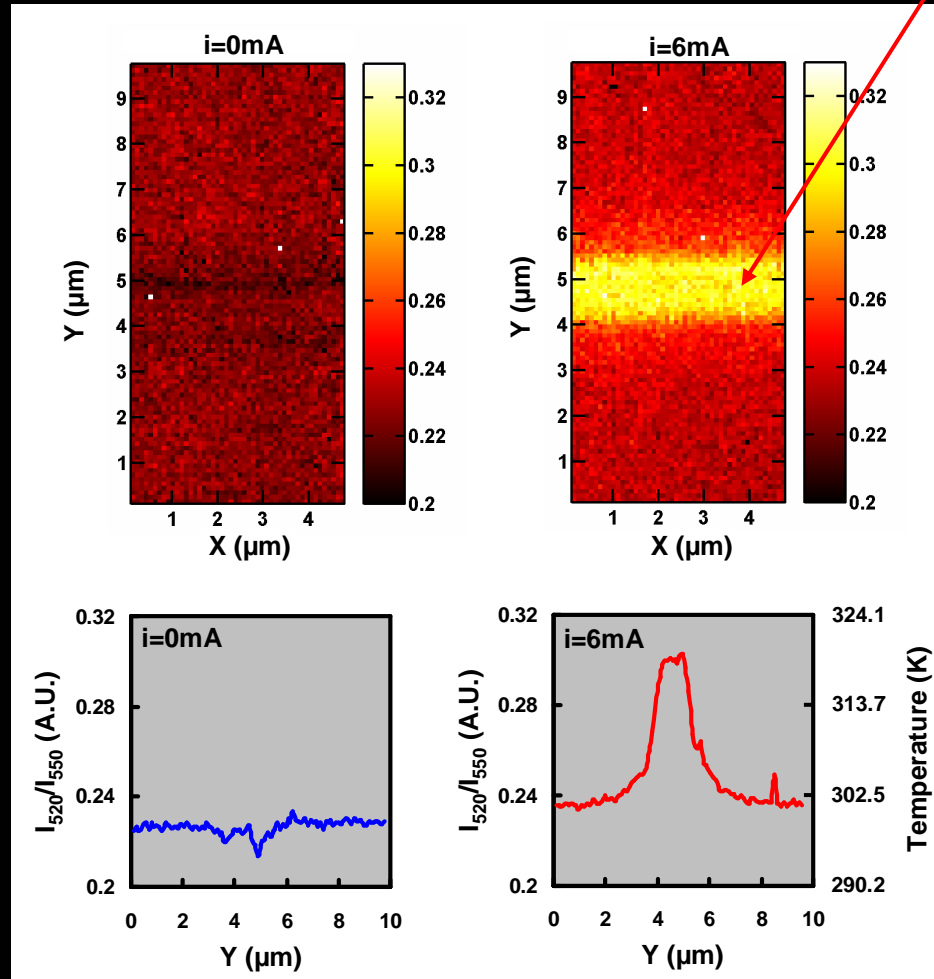
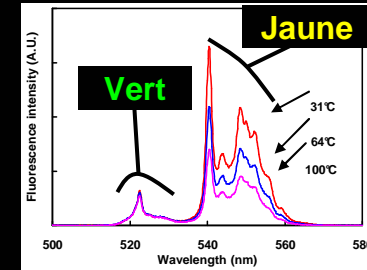
Augmentation
de température



EXEMPLE : PISTE DE NICKEL

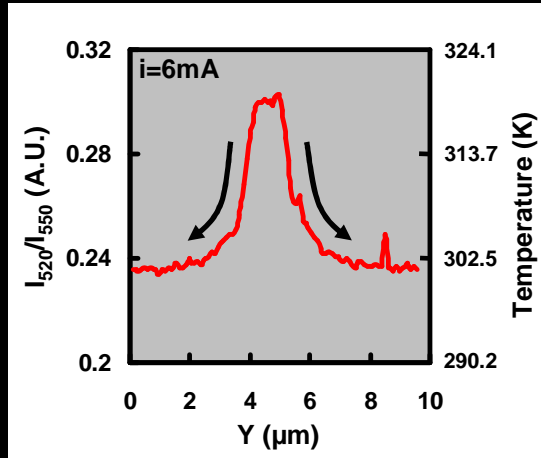
Échantillon:
P. Löw, C. Bergaud
(LAAS, Toulouse)

Rapports d'intensité de fluorescence
Augmentation de température

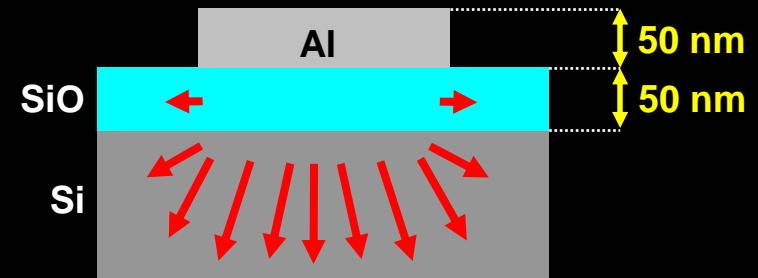
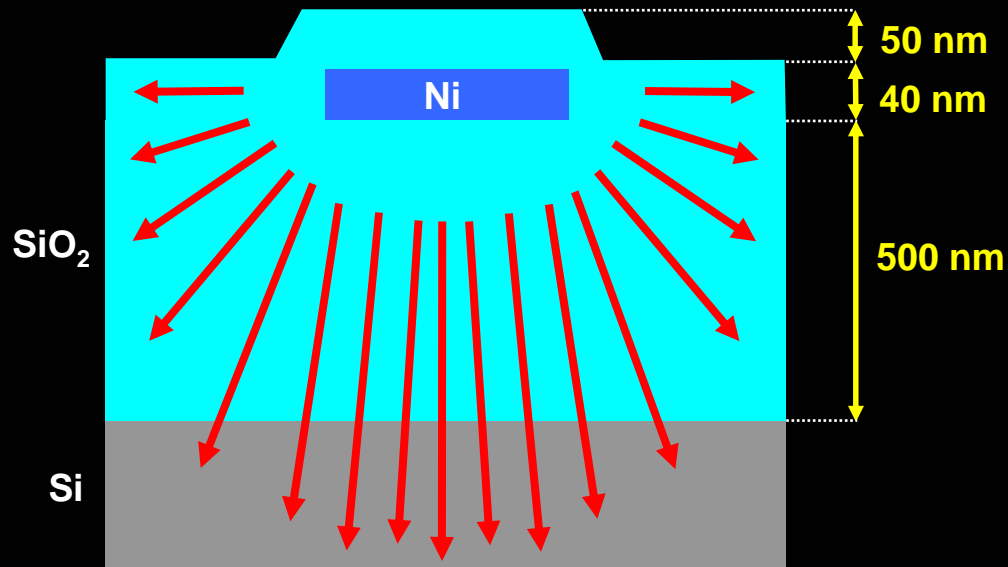
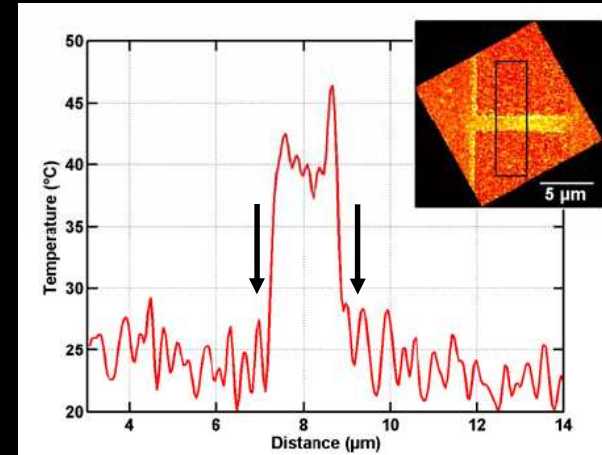


INFLUENCE DE L'ÉPAISSEUR D'OXYDE

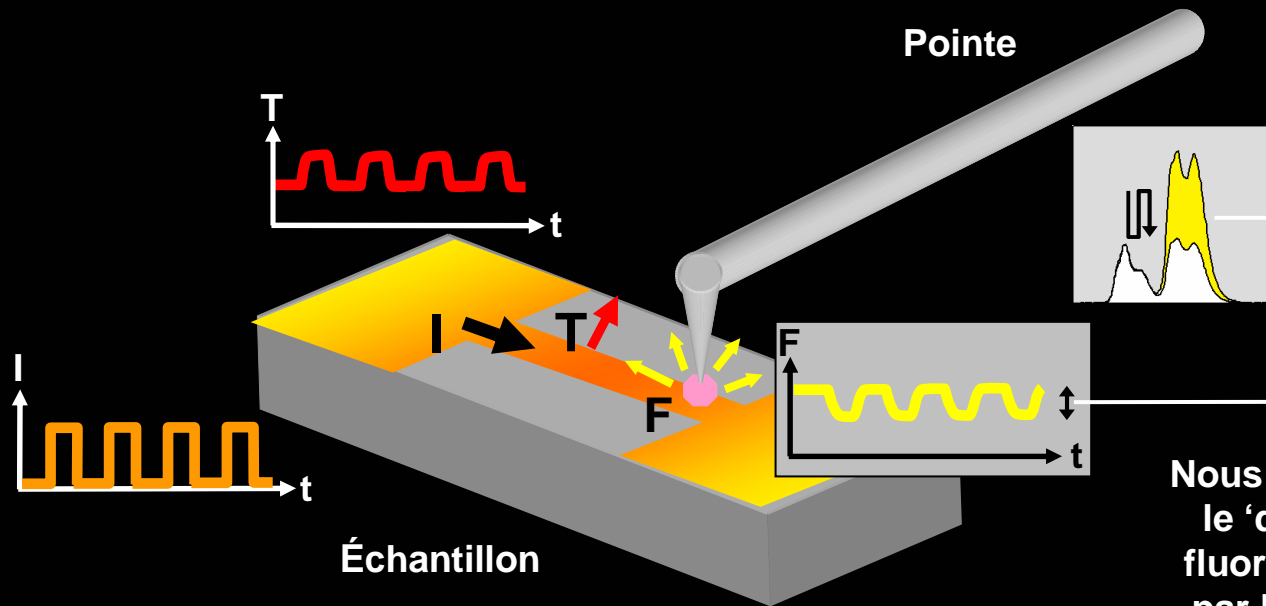
Nickel



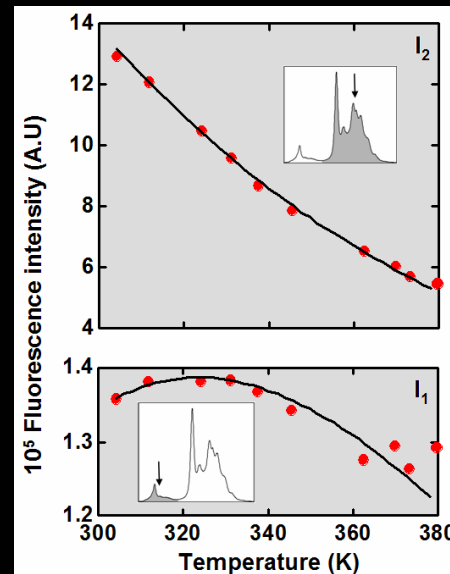
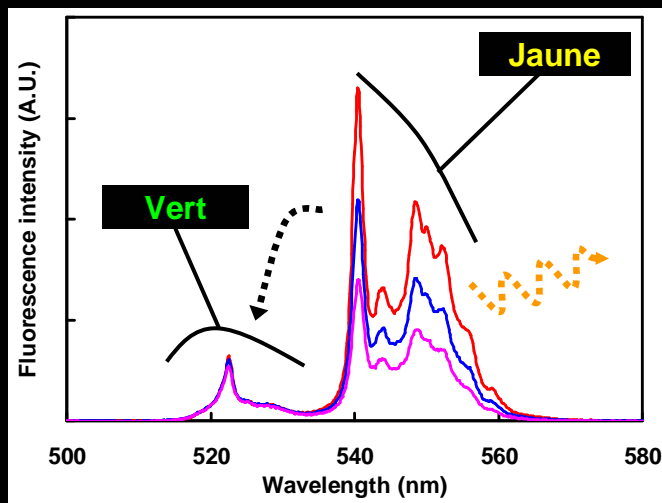
Aluminum



IMAGERIE THERMIQUE EN MODE AC



Nous allons mesurer le 'quenching' de fluorescence induit par la température



Rate equations

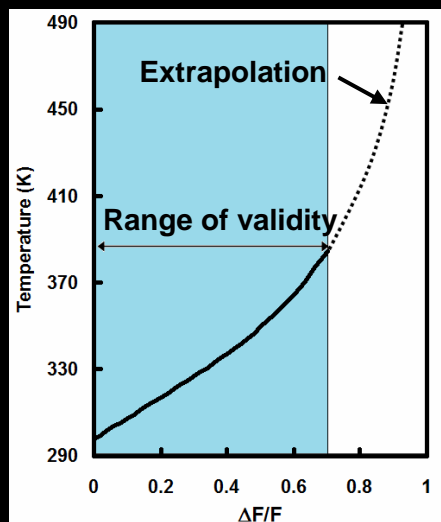
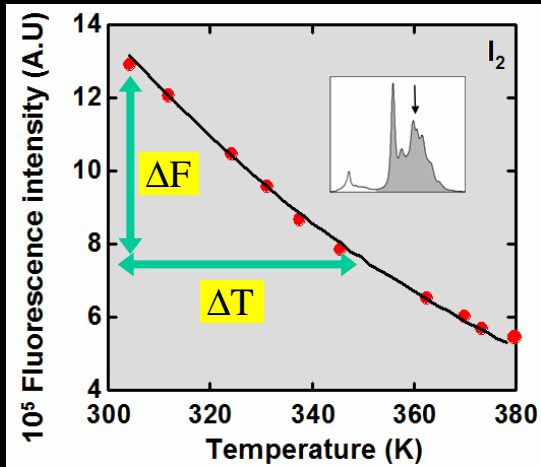
$$I_1(T) = \frac{Q A e^{-\Delta E_{12}/k_b T}}{(1 + A e^{-\Delta E_{12}/k_b T})(1 + k_{nr}/k_r)}$$

$$I_2(T) = \frac{Q}{(1 + A e^{-\Delta E_{12}/k_b T})(1 + k_{nr}/k_r)}$$

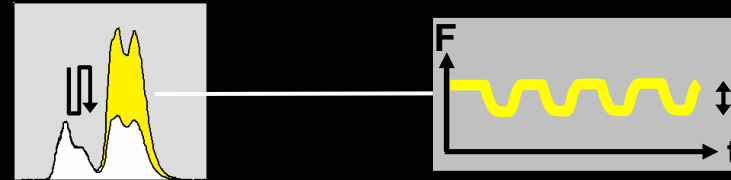
IMAGERIE THERMIQUE EN MODE AC

Rate equations gives

$$I_2(T) = \frac{Q}{(1 + Ae^{-\Delta E_{12}/k_b T})(1 + k_{nr}/k_r)}$$

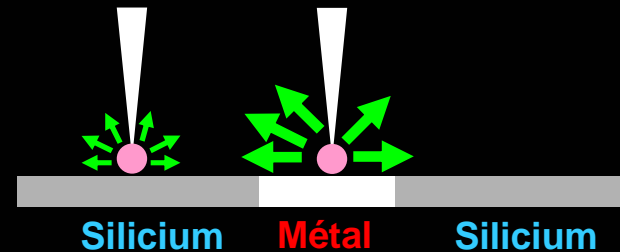


During a scan we measure



$$\Delta F = I_2(T_{amb}) - I_2(T_{max})$$

Cependant



Pour s'affranchir des inhomogénéités, nous devons normaliser nos images

Fluorescence modulée thermiquement

Fluorescence à la température ambiante

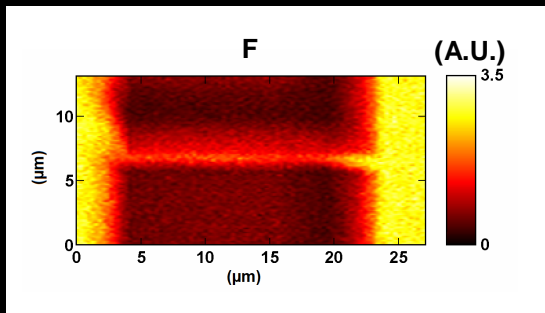
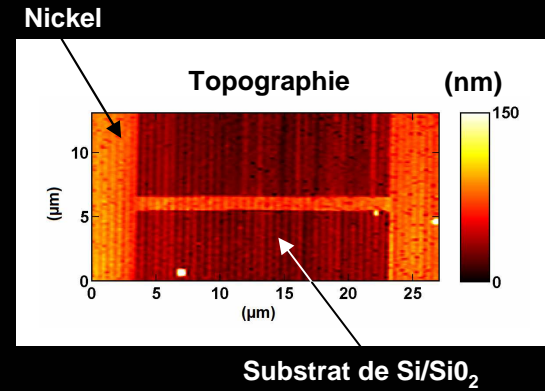
$$\frac{\Delta F}{F} = \frac{I_2(T_{amb}) - I_2(T_{max})}{I_2(T_{amb})}$$

$$T_{max} = f\left(\frac{\Delta F}{F}\right)$$

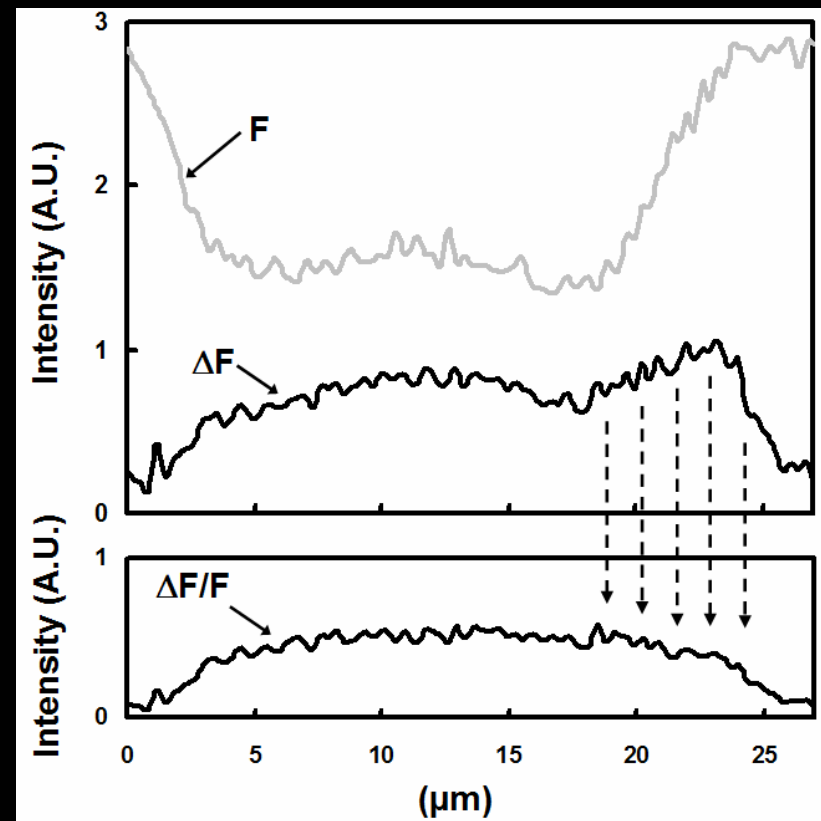
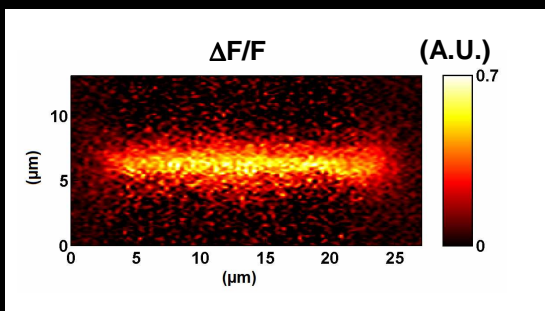
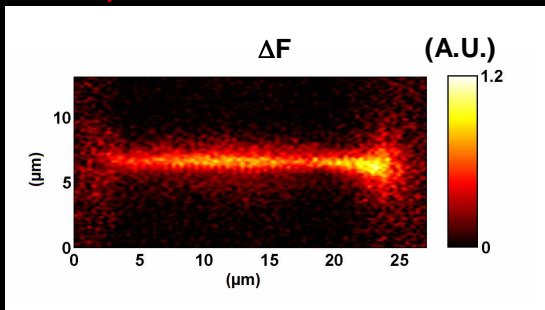
EXEMPLE D'IMAGERIE AC

Échantillon: P. Löw, C. Bergaud (LAAS, Toulouse)

SiO₂ / Ni / SiO₂ / Si
Largeur : 1µm
Longueur : 20µm



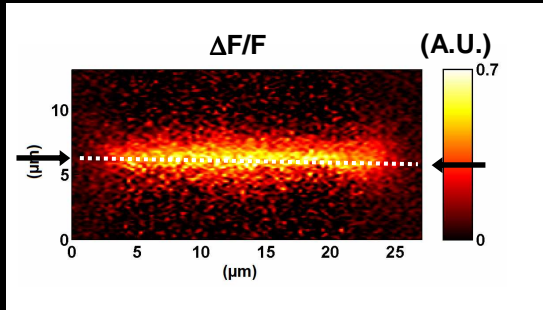
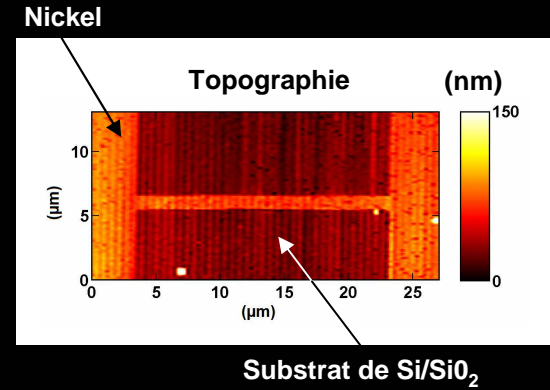
$i=8\text{mA}$, $f=530\text{Hz}$



EXEMPLE D'IMAGERIE AC

Échantillon: P. Löw, C. Bergaud (LAAS, Toulouse)

SiO₂ / Ni / SiO₂ / Si
 Largeur : 1µm
 Longueur : 20µm



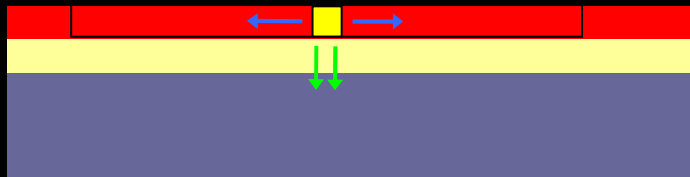
Simulation de l'échauffement :

$$k_{Ni} \frac{d^2\theta(x)}{dx^2} + J^2\rho_0 [1 + \alpha_{Ni}\theta(x)] - \frac{h_{eff}}{t_{Ni}} \theta(x) = 0$$

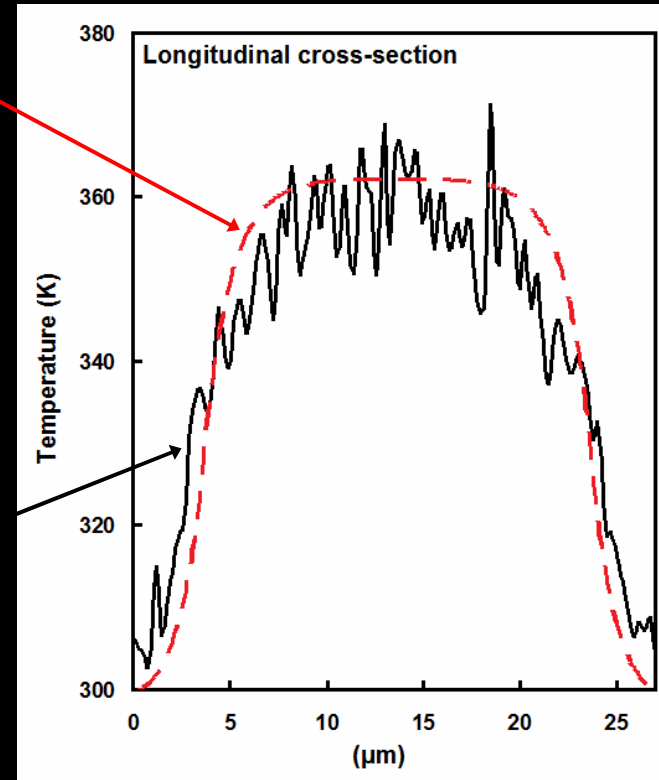
Diffusion de la chaleur le long du métal

Terme source

Diffusion de la chaleur vers le substrat



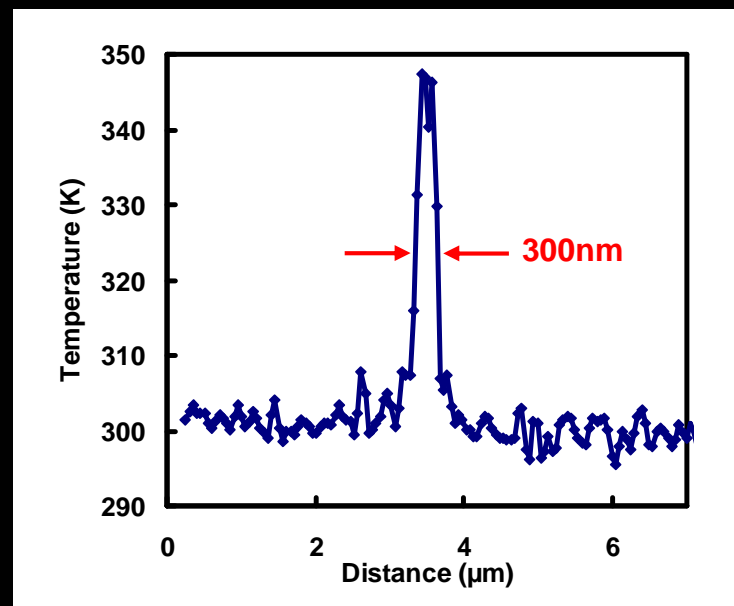
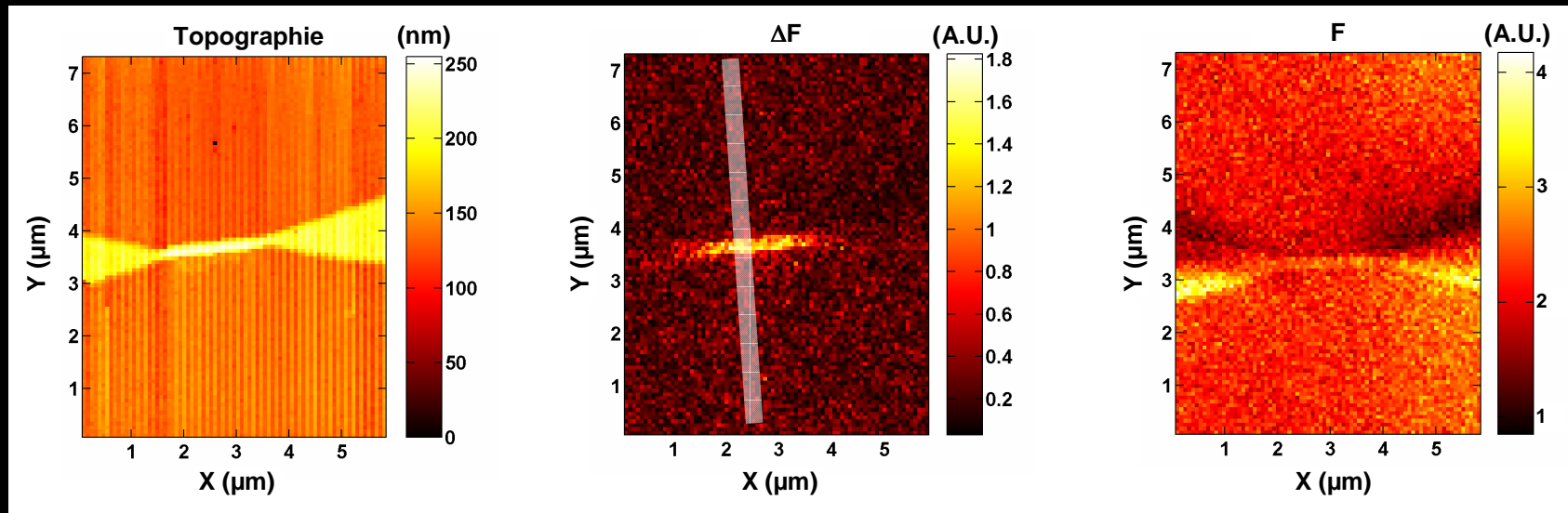
Simulation



Expérience

NANOFIL DE TITANE DE LARGEUR 100nm

Échantillon: E. Saïdi, J. Lesueur (LPEM/ESPCI)

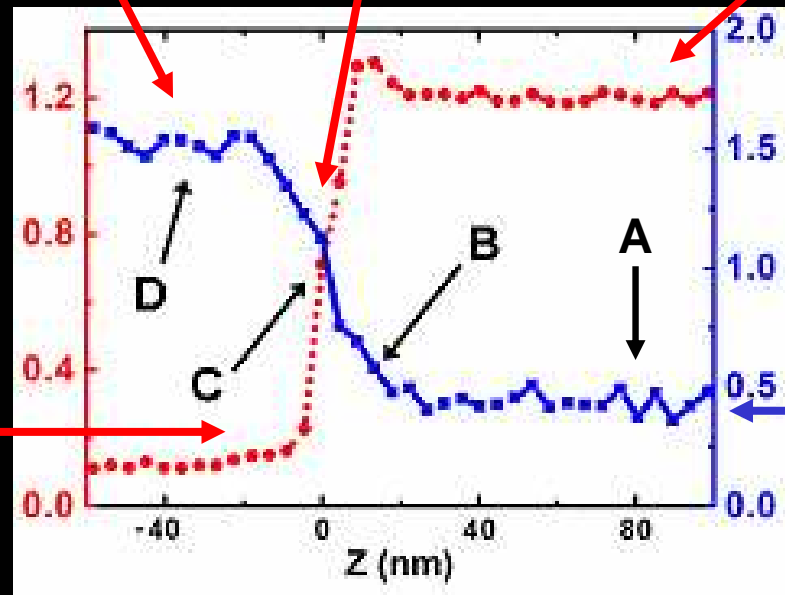
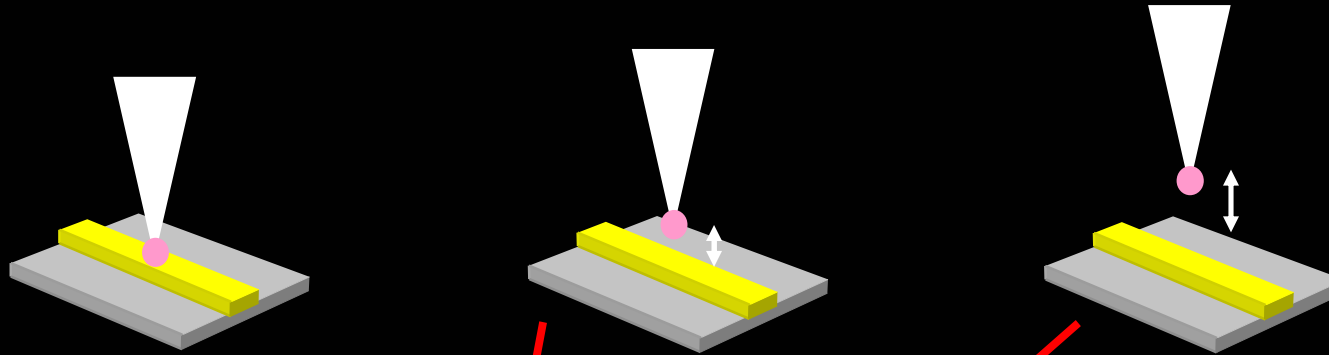


Expérience : Erika Saïdi

TRANSFERT THERMIQUE POINTE/SURFACE

Échantillon : P. Löw, C. Bergaud (LAAS)

Fil de Nickel : largeur = 500nm



Amplitude d'oscillation

ZONE A: Transfert de chaleur par conduction dans l'air

ZONES B and C: Transfert de chaleur lors du contact intermittent

ZONE D: Transfert de chaleur par contact direct

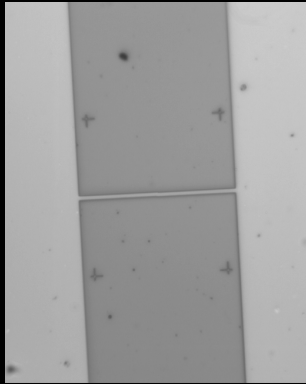
Signal thermique (A.U)

APL 92, 023101 (2008).

Expérience : Benjamin Samson

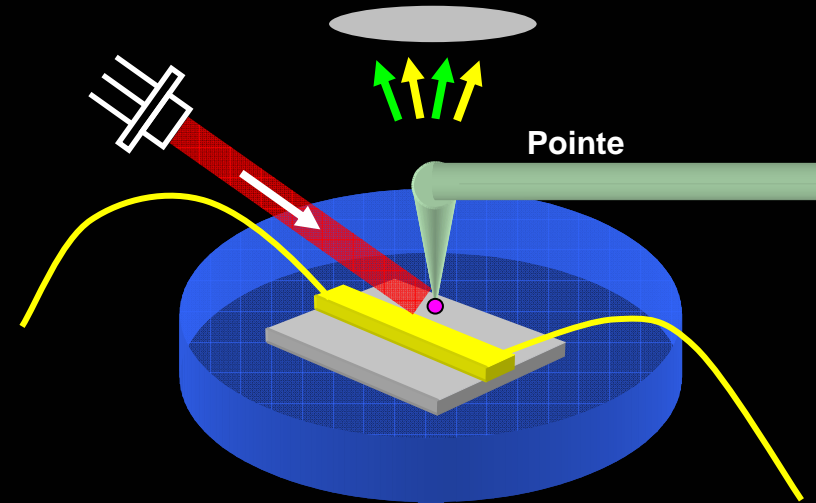
IMAGERIE THERMIQUE DANS DES LIQUIDES

Échantillon : P. Löw, C. Bergaud (LAAS)



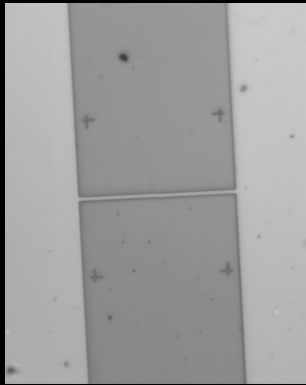
Nanodispositifs
chauffants

Utilisés pour induire le
mouvement de
molécules (rotation,
translation)



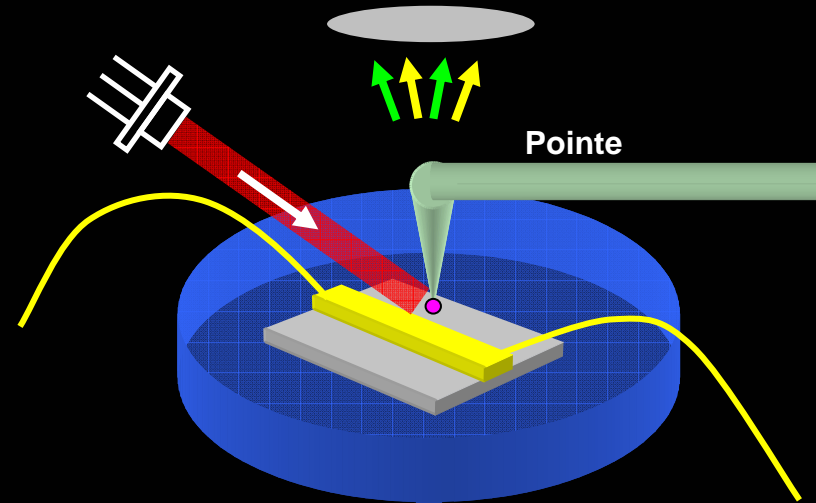
IMAGERIE THERMIQUE DANS DES LIQUIDES

Échantillon : P. Löw, C. Bergaud (LAAS)

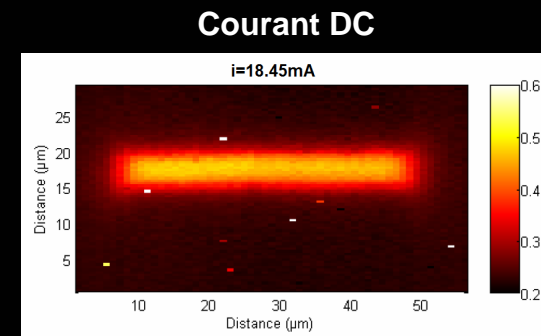
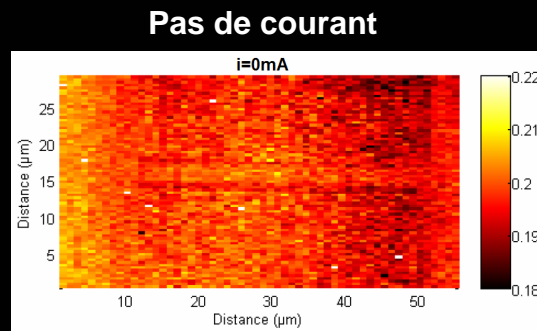
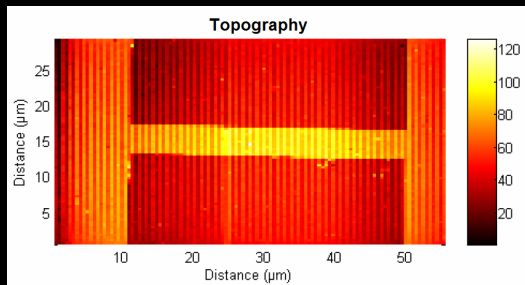


Nanodispositifs
chauffants

Utilisés pour induire le
mouvement de
molécules (rotation,
translation)



Piste de Nickel :
largeur = $4\mu\text{m}$
longueur = $40\mu\text{m}$



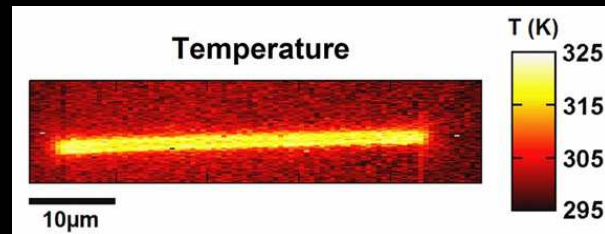
Expérience : Loïc Lalouat

CONCLUSION

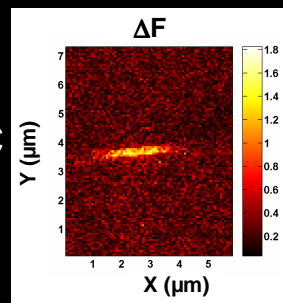
Particule fluorescente : capteur de température miniature efficace



Imagerie thermique : mode DC



Imagerie thermique : mode AC



Imagerie thermique : dans des liquides

